

NANTEN望遠鏡の 見た宇宙

名古屋大学大学院
立原研悟

What is the NANTEN2 project ?

Purpose : Investigate **large scale distributions, structure, dynamics, and chemistry of the ISM in the Milky Way and nearby galaxies**

How : Multi line observations in CO and CI

- **100GHz** : **CO(J=1-0)**
- **200GHz** : **CO(J=2-1)**

low freq. (Nagoya) RX



- **500GHz** : **CO(J=4-3), CI(^3P_1 - ^3P_0)**

- **800GHz** : **¹²CO(J=7-6), ¹³CO(J=8-7), CI(^3P_2 - ^3P_1)**

SMART RX

can trace density and temperature of gas and star forming PDR regions

International collaboration

 Nagoya U., Osaka Prefecture U.

 Universität zu Köln, Universität Bonn

 The University of New South Wales, Sydney, Macquarie and so on

 Universidad de Chile  Seoul National U.

 Swiss Federal Institute of Technology Zurich

Project Timeline

Chile Las Campanas, alt.2400m



なんてん
(NANTEN)

Chile Atacama, alt.4800m



NANTEN2

- 2004.8: Move to Pampa la Bola from Las Campanas observatory
- 2005.9: First light in mm
- 2006.4: First light in Sub mm
- 2007.10: Start remote observations
- 2009.4: Installation of SMART

NANTEN2 Site (Chile; Pampa la bola)

sky with good transmission at sub-mm



Sequitor (Alt. 2700m)

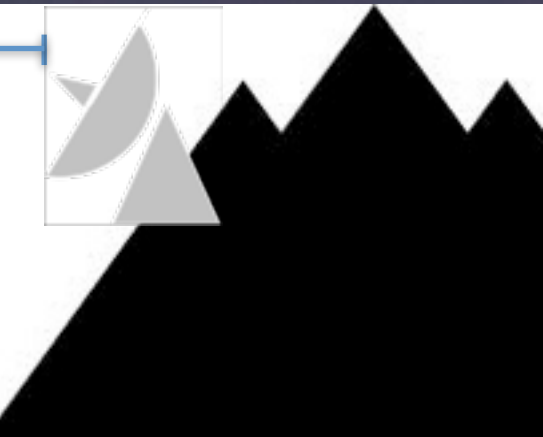


~ 1.5 hours by car

Always a few people
staff and PhD students
+ foreign astronomers



NANTEN2 (Alt. 4865m)



Instruments

Receiver

- 100 (110-115) GHz: 1 pixel, DSB
- VDI LO chain (installed in 2012 April)
- 4-12 GHz IF
- $^{12}\text{CO}(\text{1-0})$ and $^{13}\text{CO}(\text{1-0})$ simultaneously
- Replaced with 200 GHz RX in 2013 Apr.



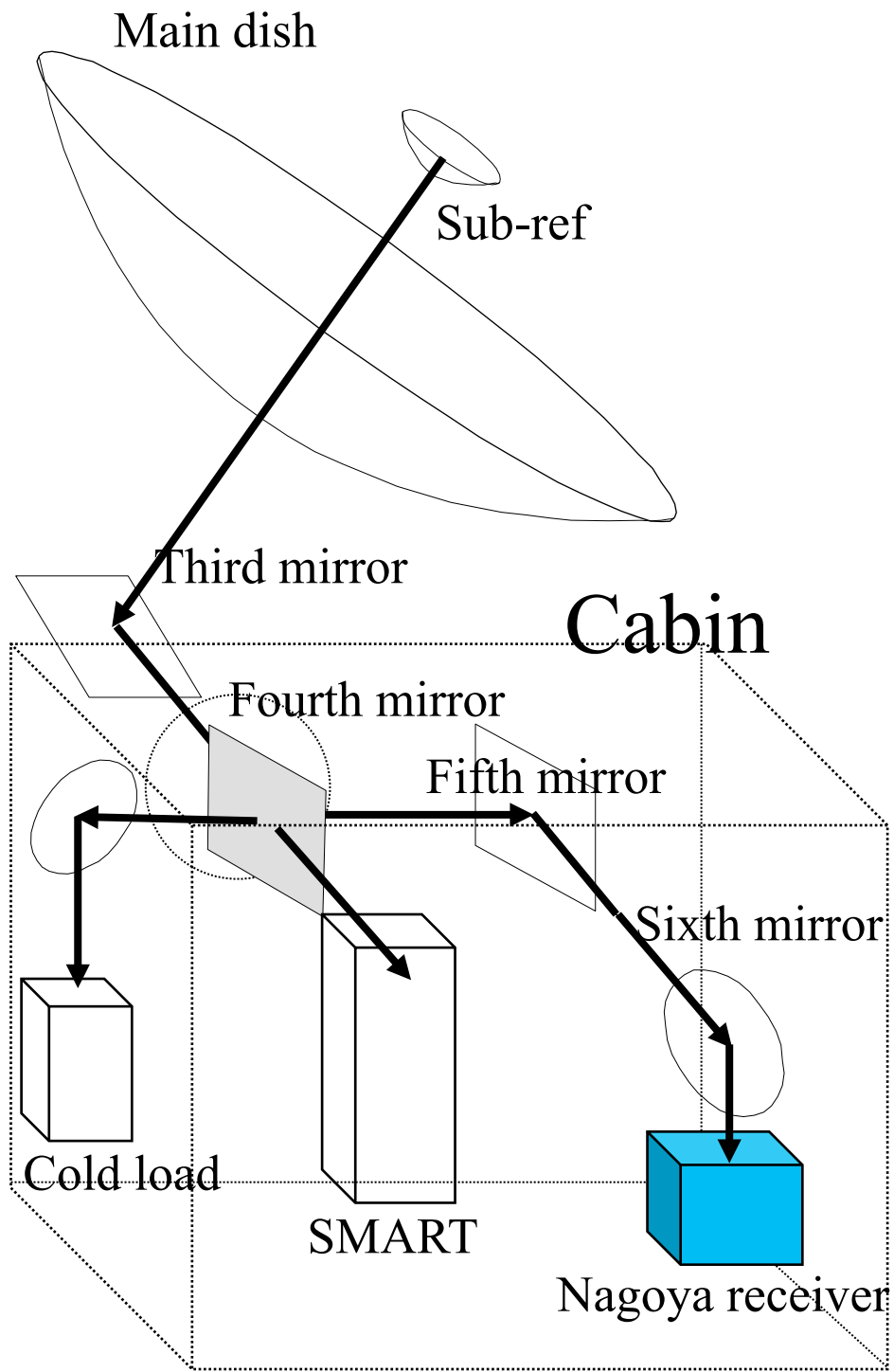
Nagoya receiver

Spectrometers

- DFT $\times 2$: 1GHz band, 61kHz resolution for 100 or 200GHz

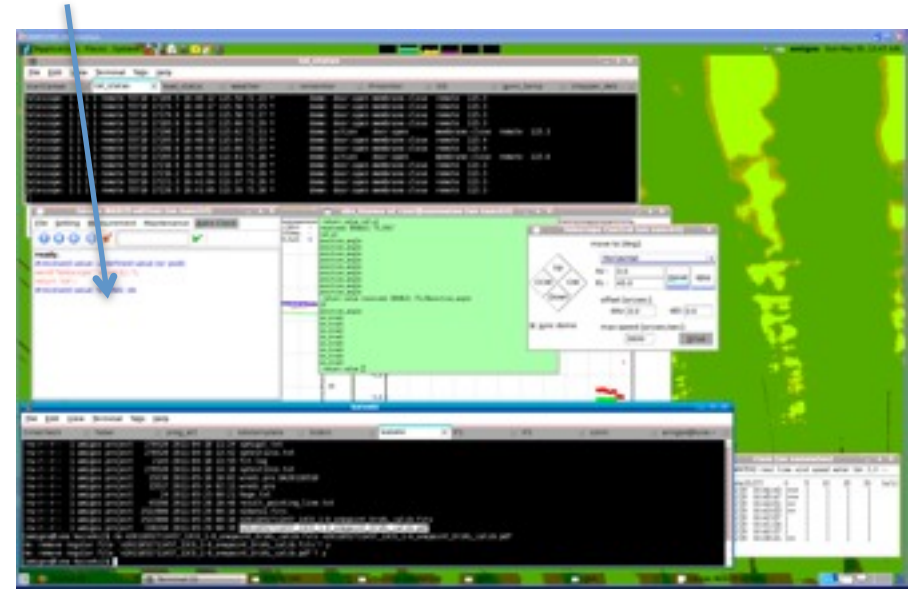
Parameters (100 GHz)

- HPBW : 180”
- V resolution: ~0.16 km/s, V coverage: ~2600 km/s
- Tsys : 150 K (DSB)

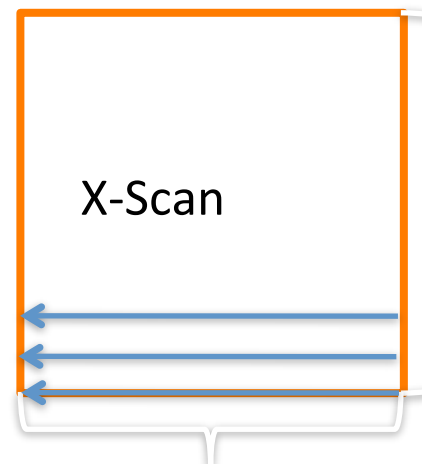


How to observe (100GHz)

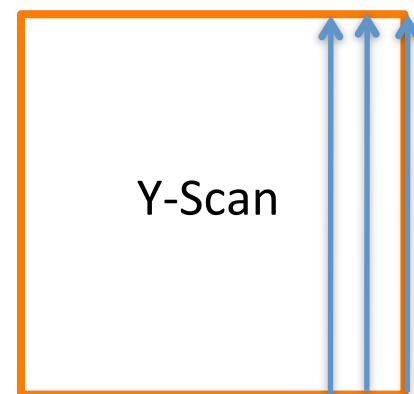
Tareas: NANTEN2 operating console (GUI)



Standard OTF parameters



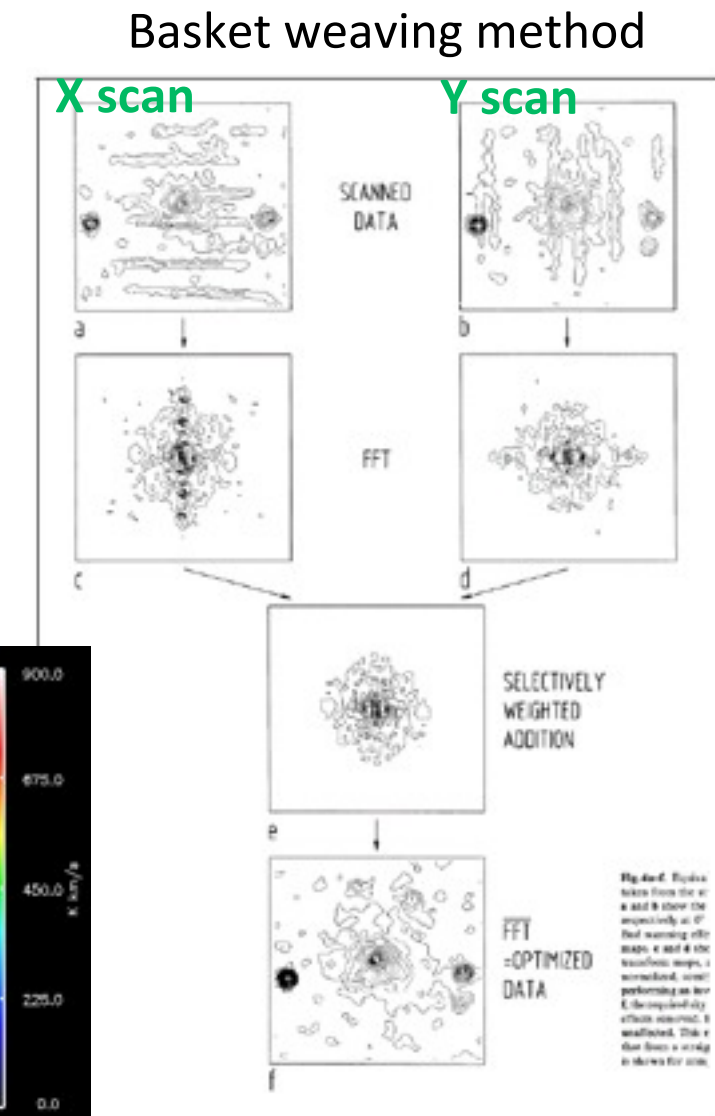
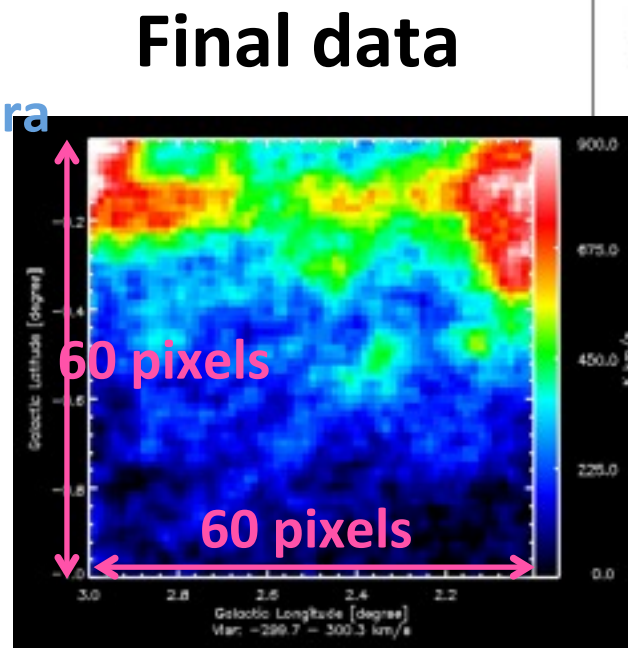
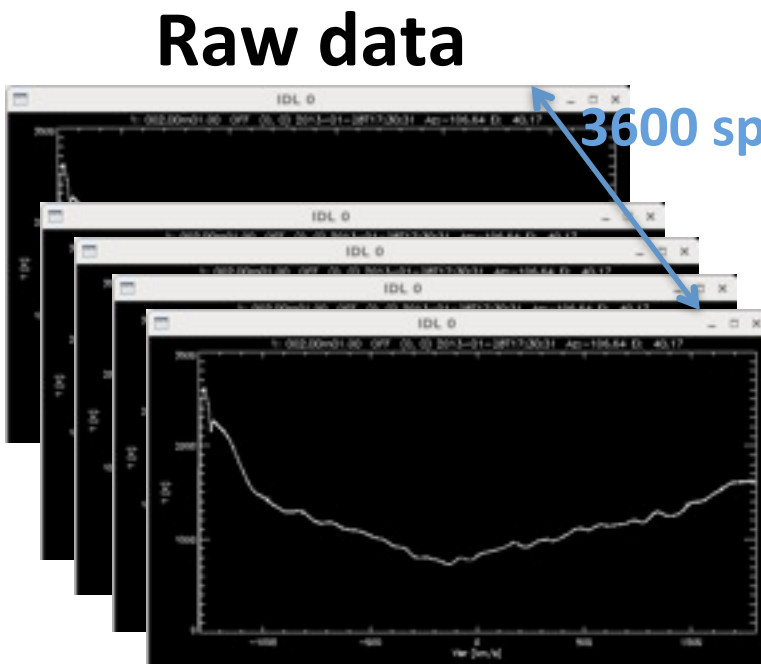
1deg = 60 grid



Integ. Time = 0.6 s/grid

Data reduction (100GHz)

1. Temperature calibration (Chopper wheel method)
2. Intensity calibration
3. Doppler correction
4. Baseline fitting
5. Basket weaving*
6. Baseline fitting
7. Transforming data into 3D cube (fits)



Emerson & Graeve (1988)

NAnten Super CO survey as Legacy (NASCO)

All-sky survey era: Why don't we make a CO map ?

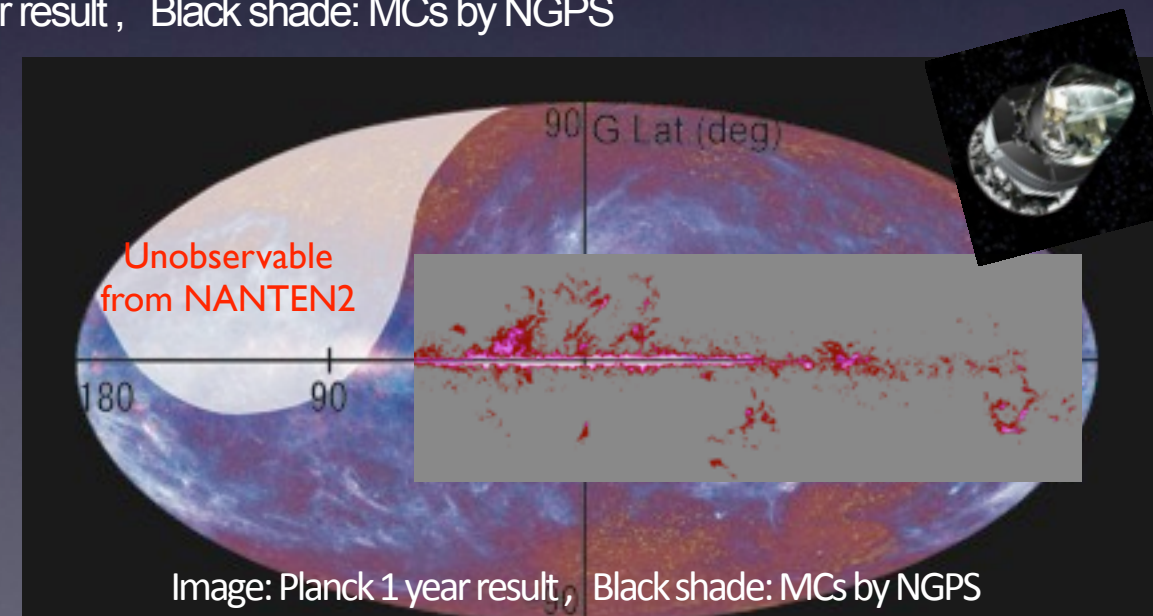
What is NASCO ? :

- Brand new CO legacy survey with high angular resolution with huge coverage
- in ^{12}CO , ^{13}CO and C^{18}O ($J=1-0$) lines
- Collaboration with the Planck team

Image: Planck 1 year result , Black shade: MCs by NGPS

Expected outcomes :

- understanding of foreground emission of CMB
 - Comparative study with gamma-ray telescopes
 - High sensitivity atlas of Galactic high mass star forming region



Scientific Targets

NASCO

- Galactic Plane Survey (NASCO_GPS)
- SNR survey
- Galactic center
- nearby low-mass SFR
- Planck based CO
- High-latitude clouds

Massive star-forming regions

- Cloud-cloud collision
- “Spitzer bubbles”

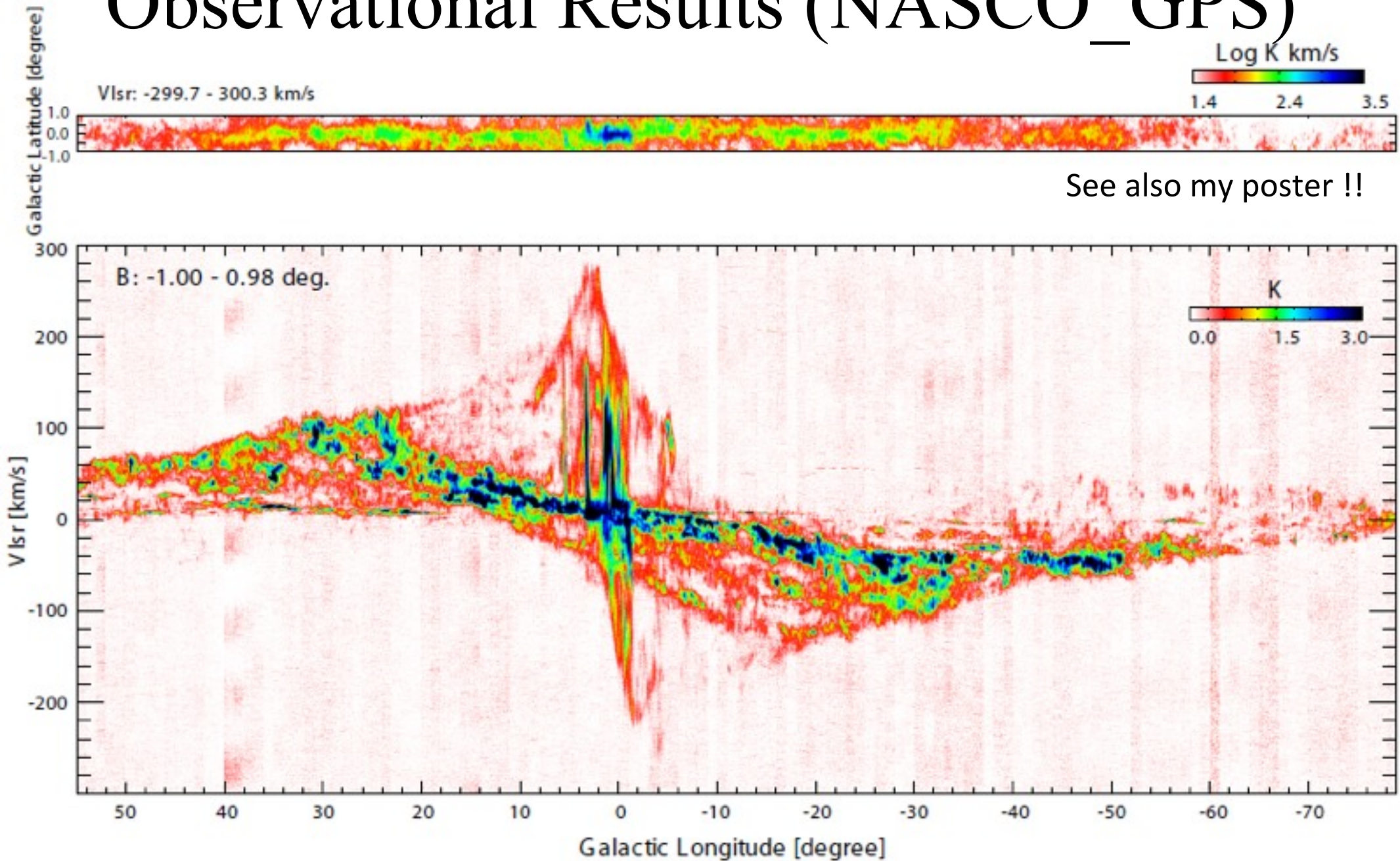
Collaboration with Osaka Pref. U.

- Orion A
- Serpens

Nearby galaxies

- Nearby galaxy survey
- LMC
- SMC

Observational Results (NASCO_GPS)



Total observation time: ~1000 h , Data point: ~100,000*16,000 !!

今日のトピック

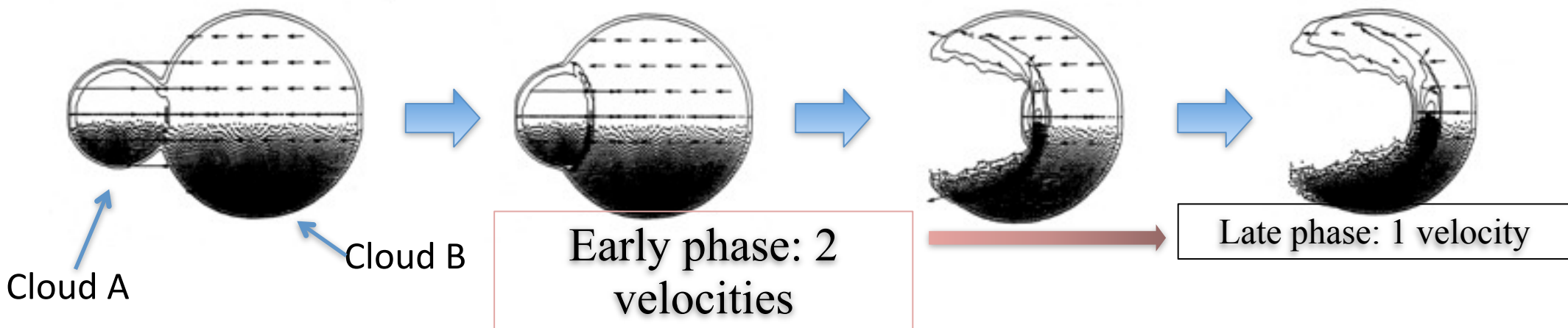
1. 分子雲衝突による大質量形成
2. 星間乱流と星形成
3. 超新星残骸における粒子加速とTeV γ 線

I. 分子雲衝突による大質量星形成

- 大質量星を作るためには？
- 大質量の分子雲コアをつくる
- 短いタイムスケールで小質量コアに分裂してしまう
- 小質量のコアを合体させる
- 衝突頻度は低そう

Cloud-Cloud Collision as mechanism of ^{13}C massive star formation

- Collision between uneven clouds (Habe & Ohta 1992)



– The shock triggered star formation

- Inside of the shell is ionized (HII region).
- Two velocity components should be observed.

Westerlund 2 (Wd2)

- 銀経 $284^{\circ}.27$, 銀緯 $-0^{\circ}.34$
- O型星 ≥ 18 個

WR星 2個 (うち1つは連星)

(Rauw et al. 2005, 2007, 2011)

- 星の総質量 $\sim 10^4 M_{\odot}$

(Ascenso et al. 2007)

- 年齢: 2 – 3 Myr

(Ascenso et al. 2007, Piatti et al. 1997)

- HII領域RCW49とダスト・PAHs構造

(Churchwell et al. 2004)

- YSOs ~ 300 個 (Whitney et al. 2004)

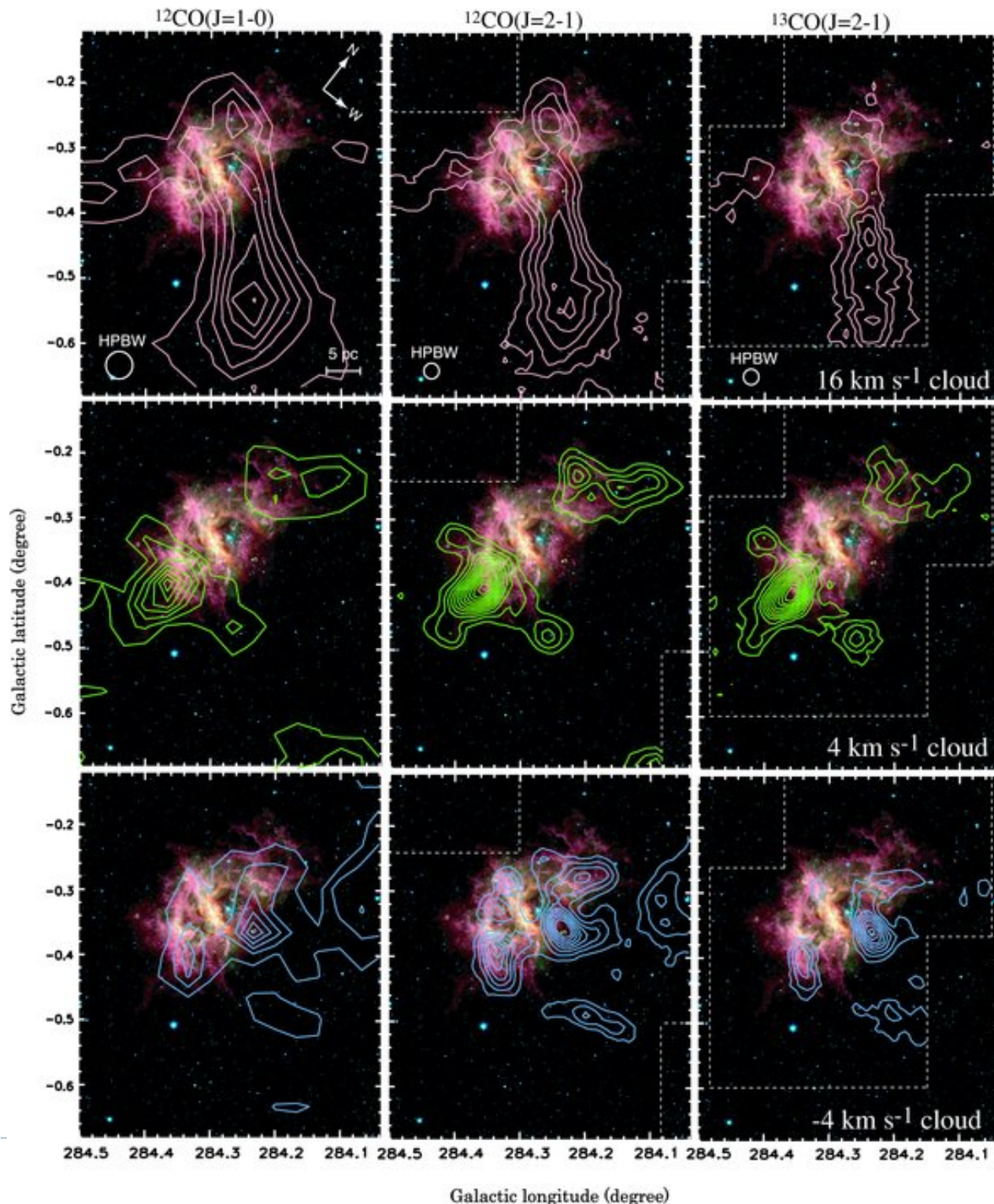
- 距離 2.8 – 8.0 kpc

(Rauw et al. 2011, reference therein)



Spitzerによる赤外線イメージ

- 青: $3.6 \mu\text{m}$ (星)
- 緑: $4.5 \mu\text{m}$ (水素再結合線Br α)
- 赤: $8.0 \mu\text{m}$ (多環芳香族炭化水素(PAH))



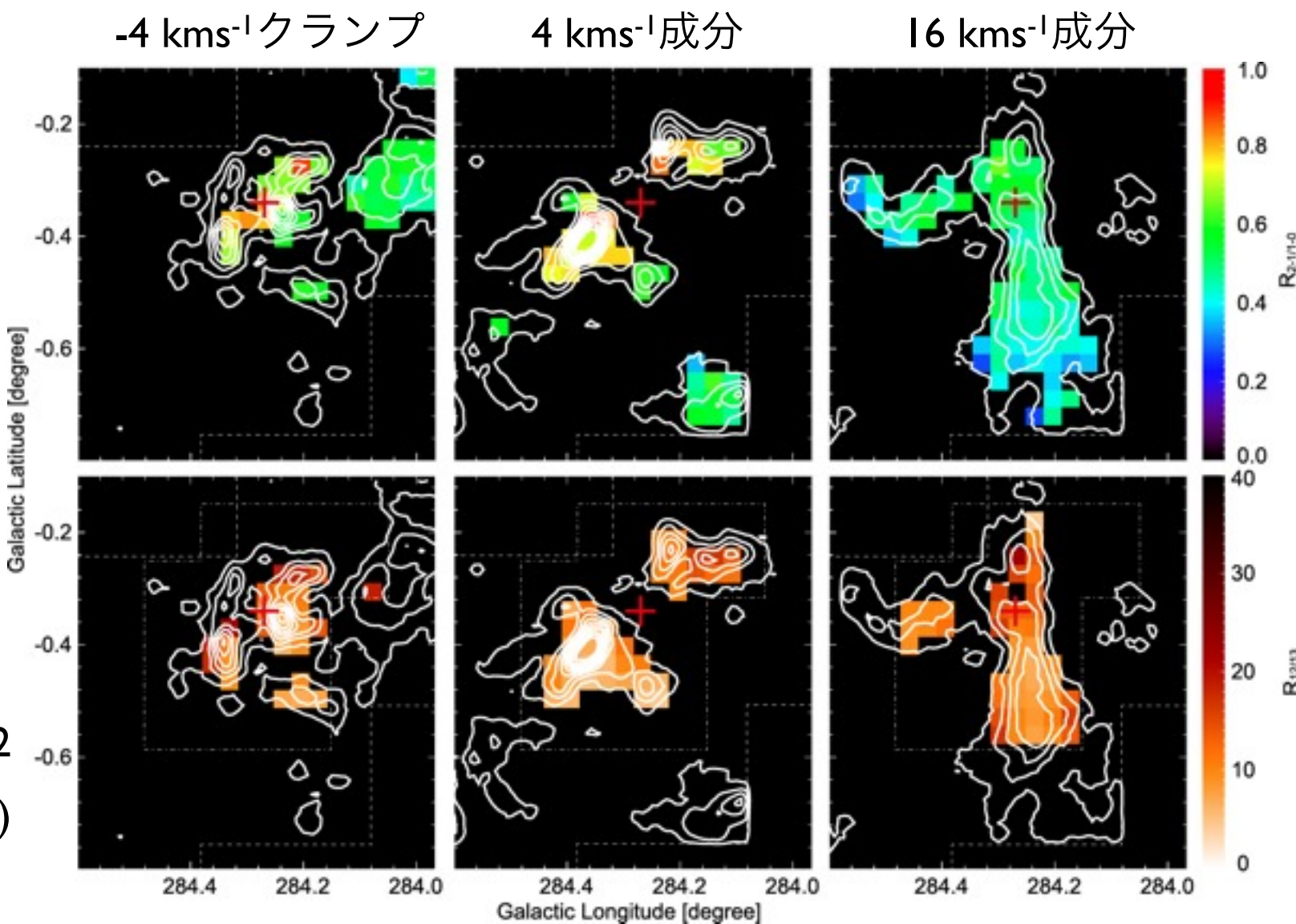
(左) $^{12}\text{CO}(J=1-0)$
 (中) $^{12}\text{CO}(J=2-1)$
 (右) $^{13}\text{CO}(J=2-1)$

イメージ:
 Spitzer IRAC
 青 $3.6 \mu\text{m}$
 緑 $4.5 \mu\text{m}$
 赤 $8.0 \mu\text{m}$

$R_{2-1/1-0}$
 $^{12}\text{CO}(J=2-1)/$
 $^{12}\text{CO}(J=1-0)$

$R_{12/13}$
 $^{12}\text{CO}(J=2-1)/$
 $^{13}\text{CO}(J=2-1)$

十字: Wd2
 コントア: $^{12}\text{CO}(J=2-1)$



$R_{2-1/1-0}$ 高い \leftrightarrow 温度 and/or 密度が高い領域

$R_{12/13}$ 高い ($= ^{13}\text{CO}(J=2-1)$ が弱い) \leftrightarrow 密度が低い領域

$R_{2-1/1-0}$
 $^{12}\text{CO}(J=2-1)/$
 $^{12}\text{CO}(J=1-0)$

$R_{12/13}$
 $^{12}\text{CO}(J=2-1)/$
 $^{13}\text{CO}(J=2-1)$

十字:Wd2

コントア: $^{12}\text{CO}(J=2-1)$

▶ 4 km s^{-1} 成分

▶ 16 km s^{-1} 成分に比べて $R_{2-1/1-0}$ が高い

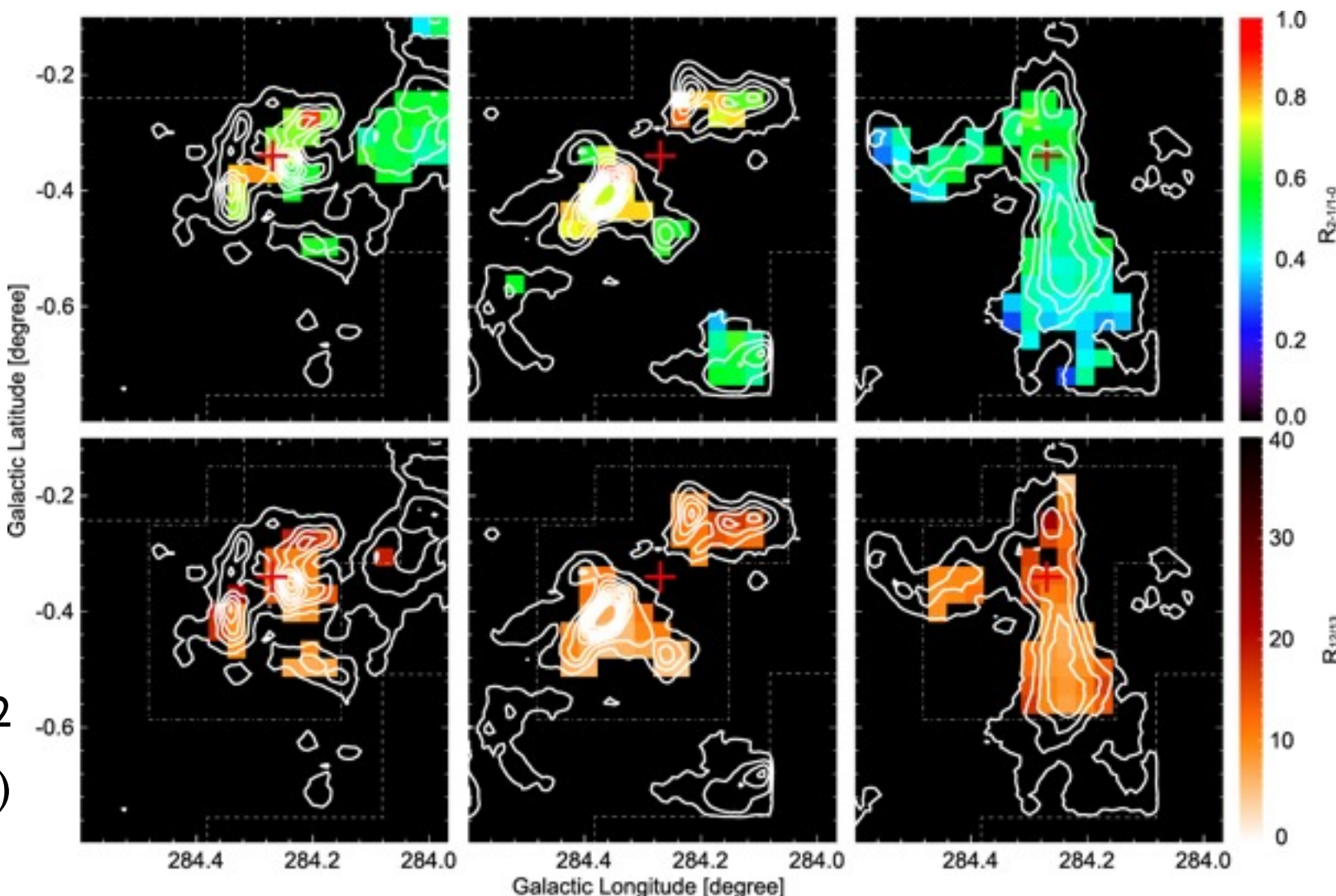
▶ 16 km s^{-1} 成分

▶ Wd2に近いほど $R_{2-1/1-0}$ が高い

-4 km s^{-1} クランプ

4 km s^{-1} 成分

16 km s^{-1} 成分



▶ 16 km s^{-1} 成分より Wd2に近い

▶ Wd2に付随

▶ Wd2に近い分子雲は散逸

GMCsの運動

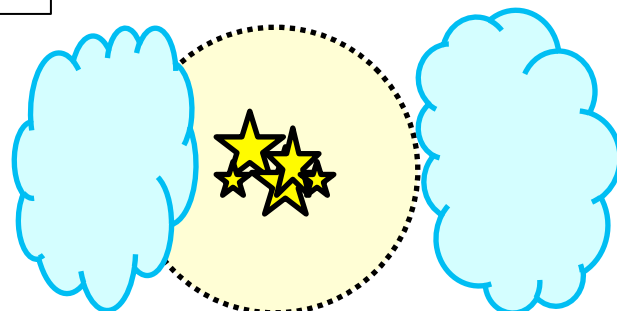
▶ 仮説1：

星風による膨張 (Dame 2007)

▶ 仮説2：

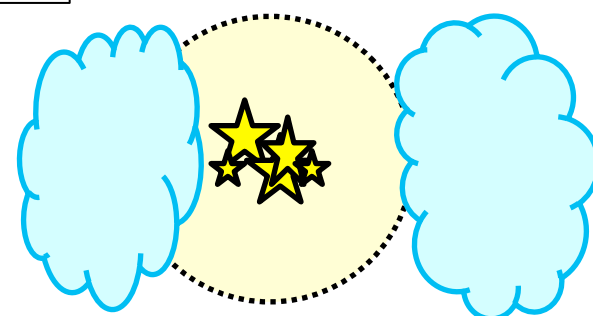
GMCsの衝突 → 星団形成のトリガー

仮説1



相対速度 $\sim 12 \text{ km s}^{-1}$

仮説2



相対速度 $\sim 12 \text{ km s}^{-1}$

GMCの運動

仮説1：星風による膨張

位置速度分布

- ▶ $b = -0^{\circ}.4 - -0^{\circ}.2$: 膨張構造
- ▶ 16 km s^{-1} 成分の $b < -0^{\circ}.4$ は 16 km s^{-1} の一定速度を持つ

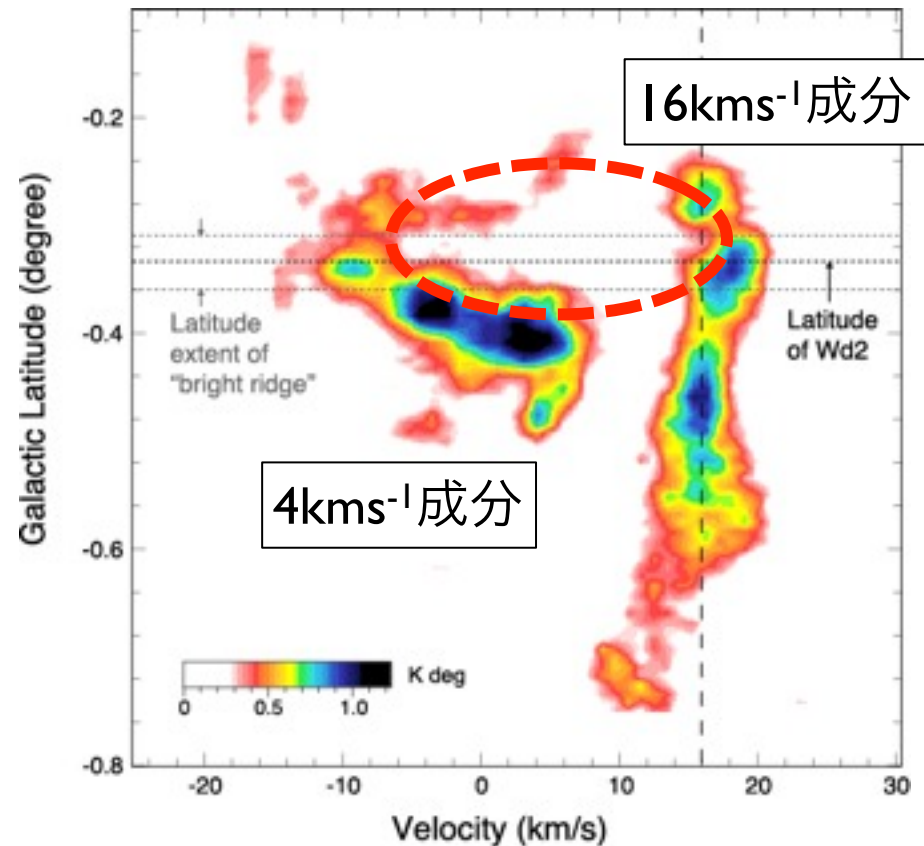
16 km s^{-1} 成分全体が星団の星風によって膨張したと解釈しにくい

エネルギー計算

- ▶ 分子雲の距離を推定し質量を求め
- ▶ 系全体の分子雲の運動エネルギー
 $\sim 1.2 \pm 0.5 \times 10^{50} \text{ erg}$
- ▶ 星風の力学的エネルギー

▶ $3.6 \times 10^{51} \text{ erg}$ (Rauw et al. 2007)

イメージ: $^{12}\text{CO}(J=2-1)$



膨張エネルギーは星風のエネルギーの10%

GMCsの運動

▶ 仮説2：GMCsの衝突

- ▶ 衝突後の経過時間
 - ▶ 4 km s⁻¹成分と16 km s⁻¹成分の相対速度 ~12 km s⁻¹
 - ▶ RCW49のサイズ~40 pc

経過時間 ~4 Myr ⇔ Wd2の年齢 2 – 3 Myr

▶ 星形成効率

$$\eta_{SFE} = \frac{M_{star}}{M_{cloud} + M_{star}} \sim 0.05$$

M_{star} : 星の総質量($\sim 10^4 M_\odot$)

M_{cloud} : 分子雲の総質量
($\sim 2 \times 10^5 M_\odot$)

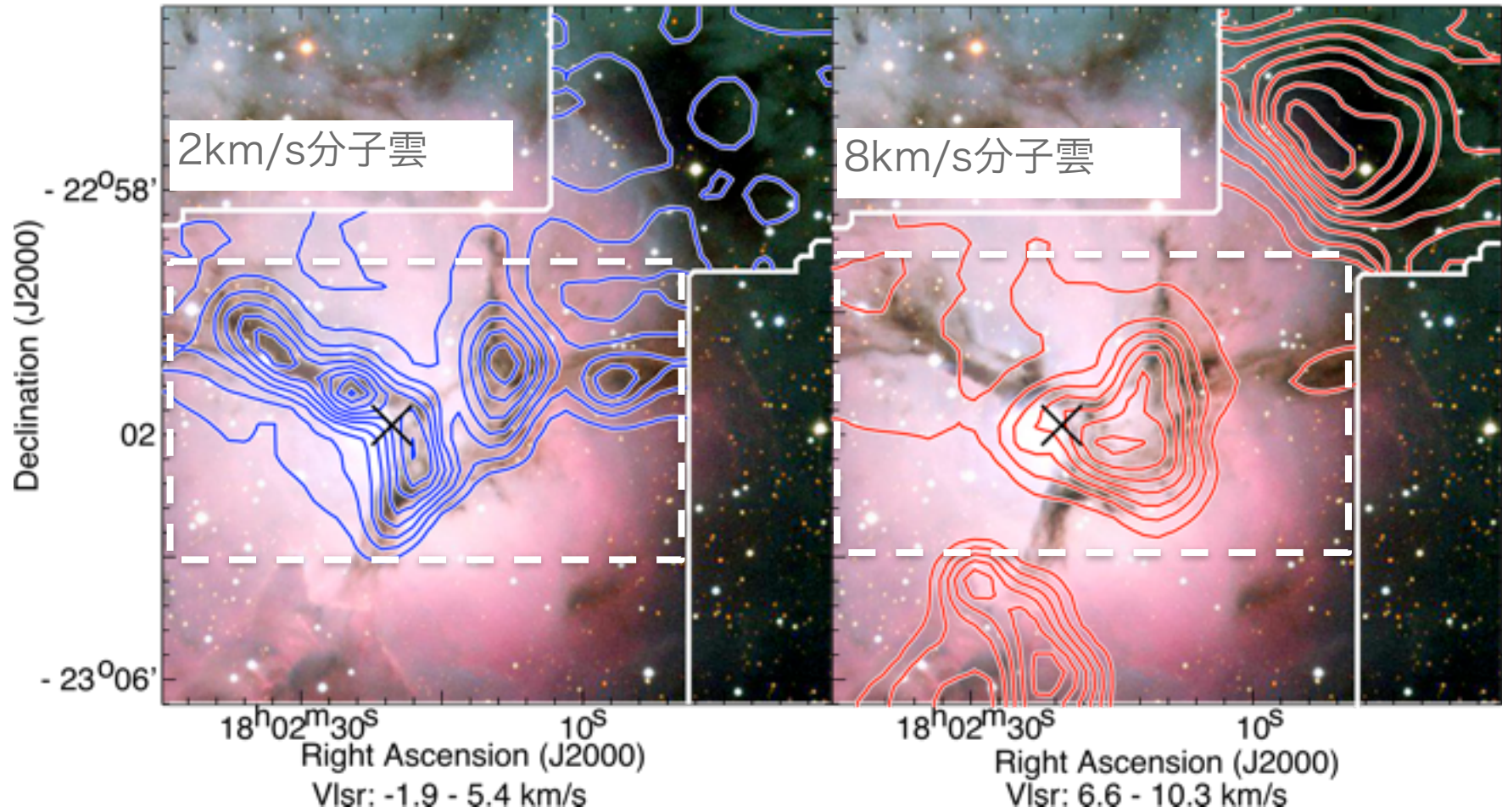
Westerlund2のまとめ

- ▶ 中間赤外線との形態比較や、CO輝線の励起分布・同位体比分布から、二つのGMCs($4\text{km}\text{s}^{-1}$ と $16\text{km}\text{s}^{-1}$ 成分)がWd2に付随
- ▶ 2つのGMCsの重心速度からWd2までの距離を $5.4^{+1.1}_{-1.4}\text{kpc}$ と推定
- ▶ GMCsの速度構造やエネルギー計算より、2つのGMCsがWd2によって膨張しているとは解釈しにくい
- ▶ 相対速度~ $12\text{km}\text{s}^{-1}$ のGMCsが衝突してWd2を形成した？

M20 (三裂星雲)

コントア ^{12}CO (J=1-0)Mopra

×:中心星(HD164492A O7.5型星)



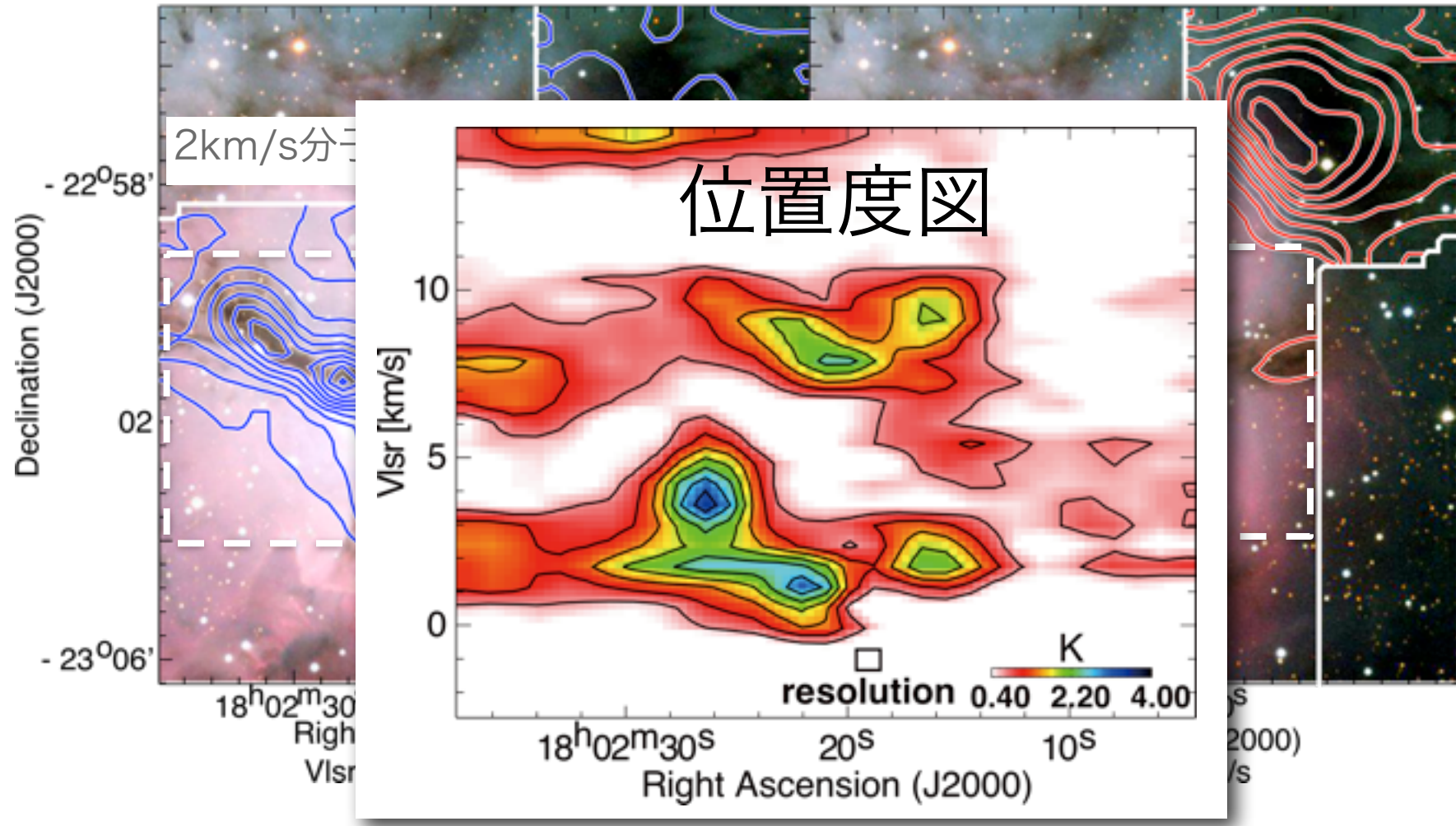
ブルーシフト成分

レッドシフト成分

M20 (三裂星雲)

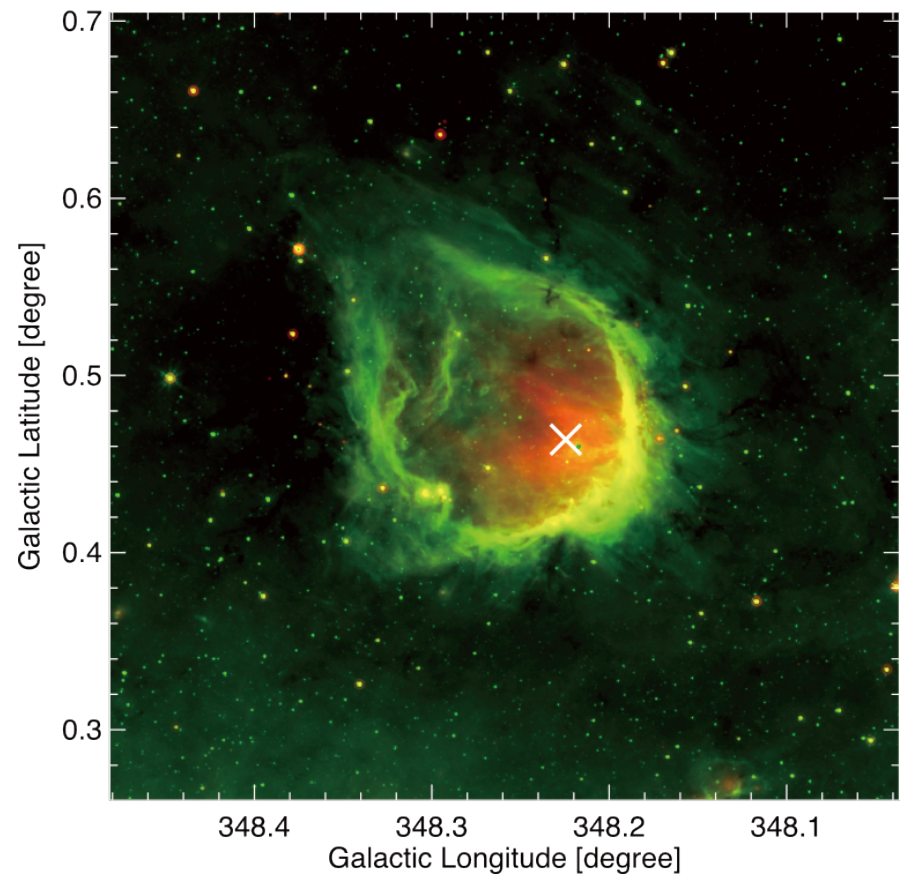
コントア ^{12}CO (J=1-0)Mopra

×:中心星(HD164492A O7.5型星)



分子雲衝突による大質量形成のまとめ

- いくつかの大質量星は巨大分子雲の衝突で誘発されていそう
- どの程度支配的なモードなのか？
- Spitzer bubbleなどの系統的サーベイを実施中



赤:24um 緑:8um ×:励起星

2. Interstellar turbulence

- Observed by broad (super-sonic) molecular lines
- Ubiquitous from diffuse cloud to dense cores
- $\Delta V(^{12}\text{CO}) \sim 1.5\text{-}2.5 \text{ km/s} \gg C_s \sim 0.2 \text{ km/s}$ for 20 K gas, $\Delta V(\text{H}^{13}\text{CO}^+) \sim 0.5 \text{ km/s}$
- Important for cloud evolution and dense core dynamics

Paradigms of dense core evolution

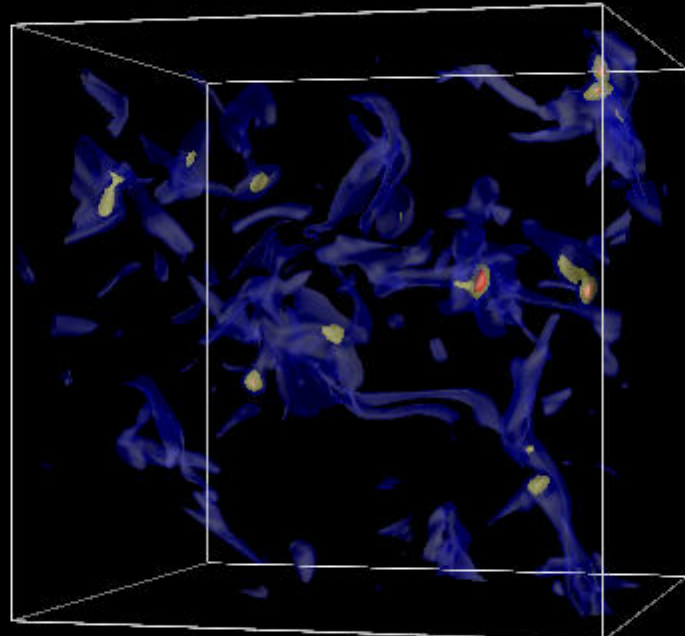
Self-gravity



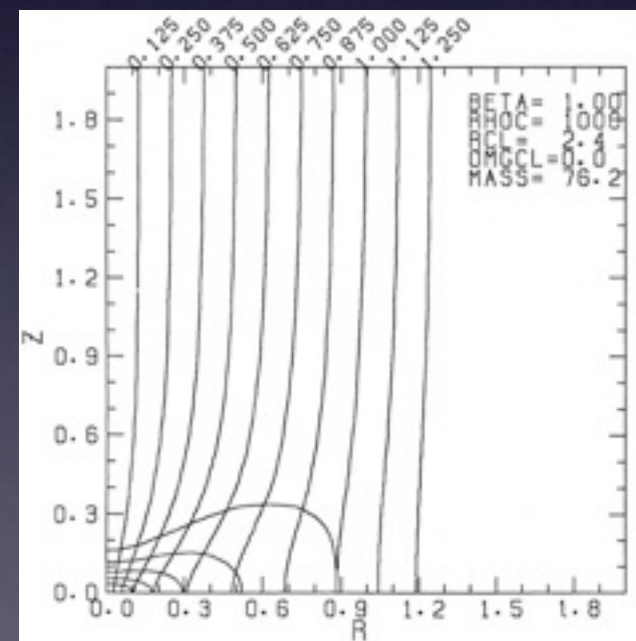
Magnetic fields

or

Interstellar turbulence



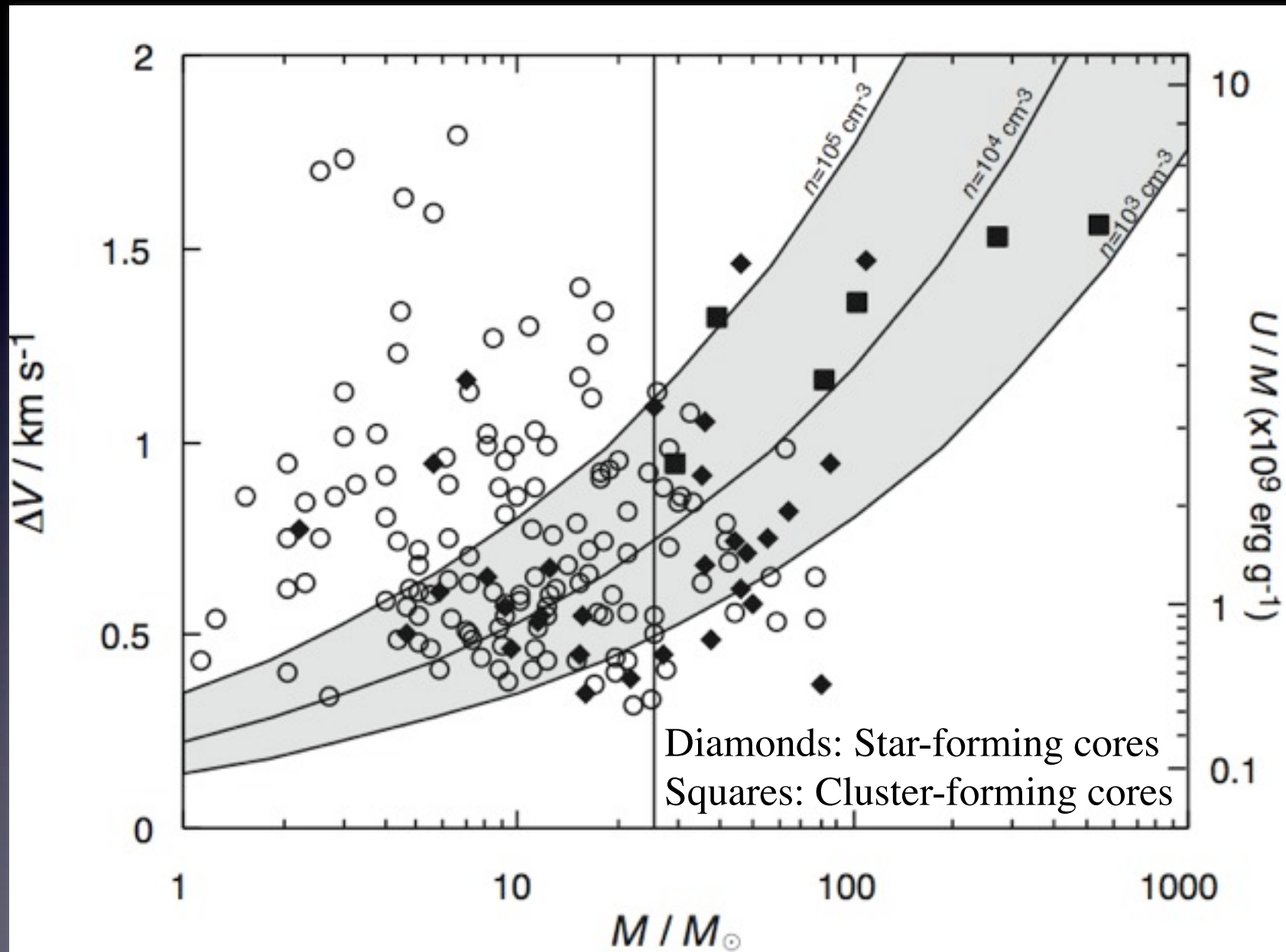
Klessen et al. 2000



Tomisaka et al. 1988

Line width - mass relations

NANTEN C¹⁸O core survey in nearby clouds

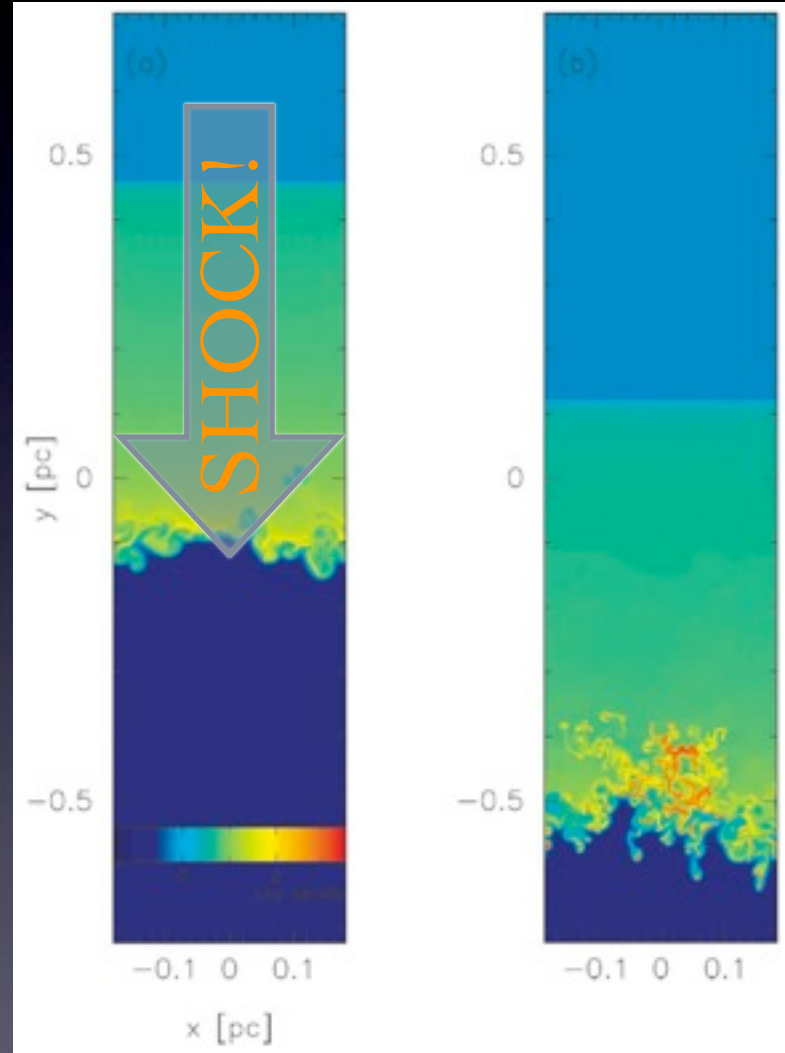


Where the inter-stellar turbulence comes from?

- excited by large-scale wave (e.g., galactic density wave, SN, outflow, SW, etc...)
- cascade into smaller-scale waves (Kolmogorov turbulence)
- but the super-sonic wave forms shock and decays very rapidly
- Magnetic field does not help much to sustain turbulence



The two-phase gas model

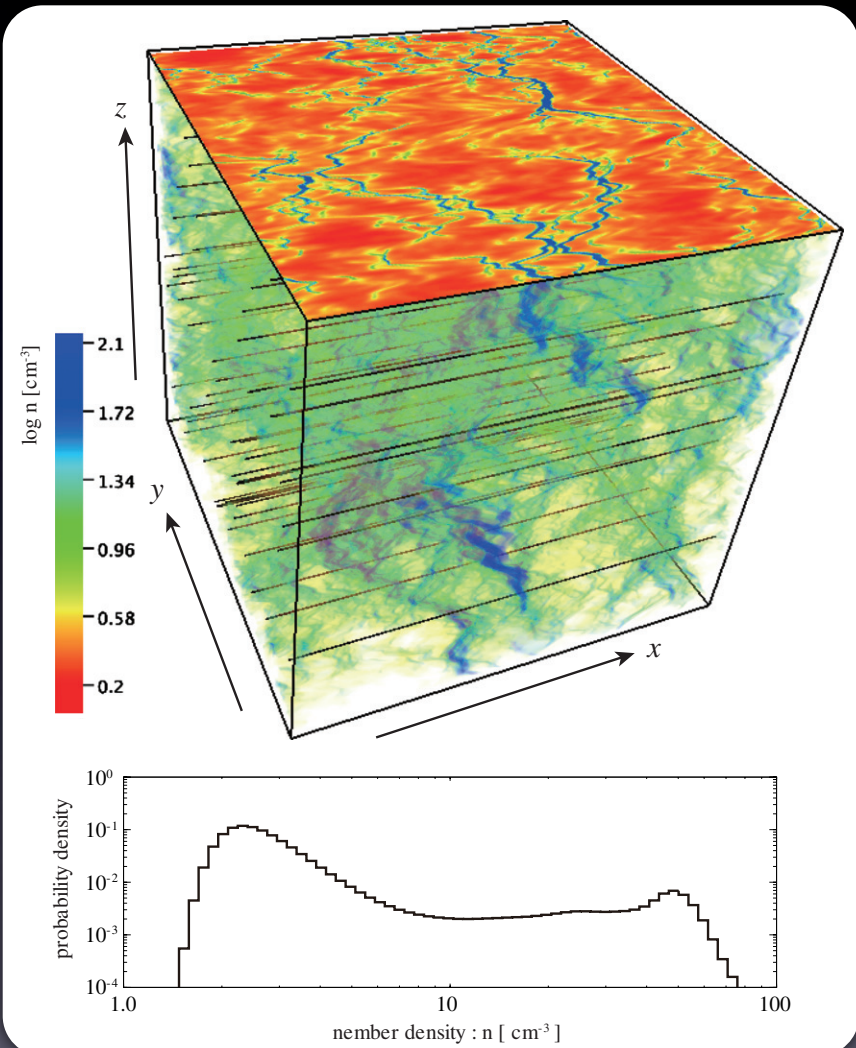


- ISM consist of warm ($\sim 10^4$ K) and cold (< 100 K) neutral medium (WNM and CNM)
- shock compression of diffuse WNM => turbulent CNM by TI
- sustained long due to subsonic random motion wrt the warm gas

Thermal instability of shocked layer
(Koyama & Inutsuka 2000, 2002)

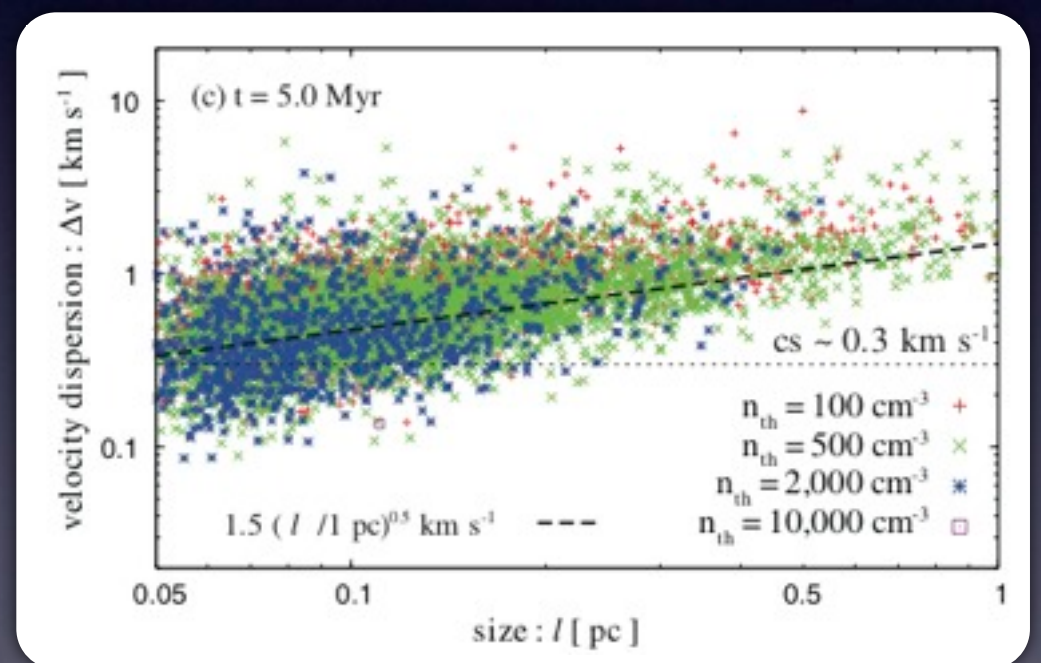
(See also Hennebelle et al. 2007)

Numerical simulations



Thermal instability

- 3D MHD simulation of colliding flow
- Chemical reaction
- Radiative heating & cooling,
- Thermal conduction, etc...



Larson's law

Inoue & Inutsuka 2012

Ophiuchus North ^{12}CO observation

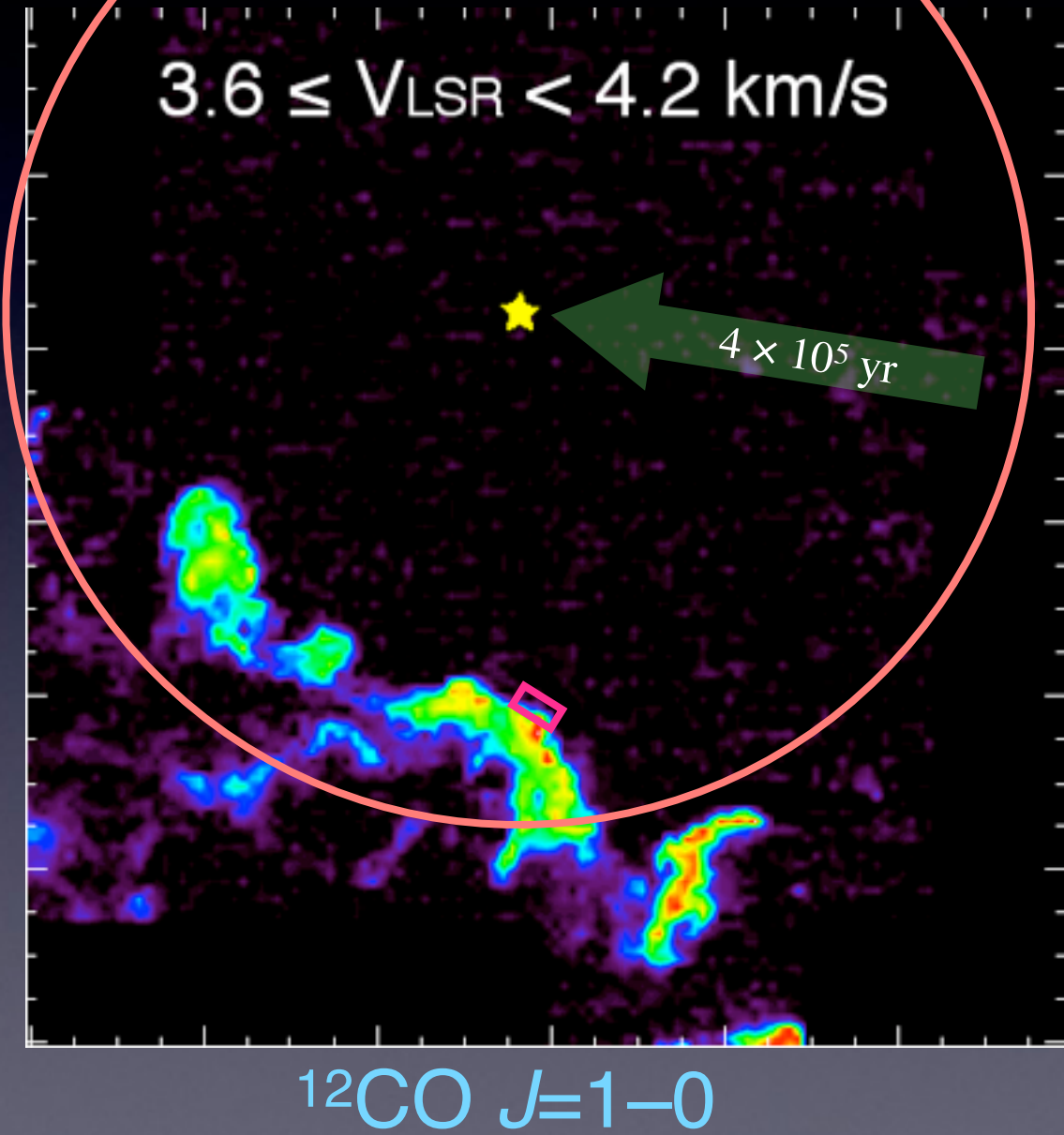
- NRO 45m + BEARS; $^{12}\text{CO } J=1-0$
 - HPBW = 15"; 2300 AU at 150 pc
 - L204 cloud surface on S27 excited by ζ Oph
 - Repeat scans of a $11' \times 22'$ region
 - $T_{\text{rms}} \sim 0.35$ K

- ASTE 10m; $^{12}\text{CO } J=3-2$, (22" beam)

- 4x4 and 3x3 arcmin² around small structures
 - $T_{\text{rms}} \sim 0.13$ and 0.1 k



L204 cloud complex & ζ Oph



The nearest O-type (9.5V) star at 150 pc

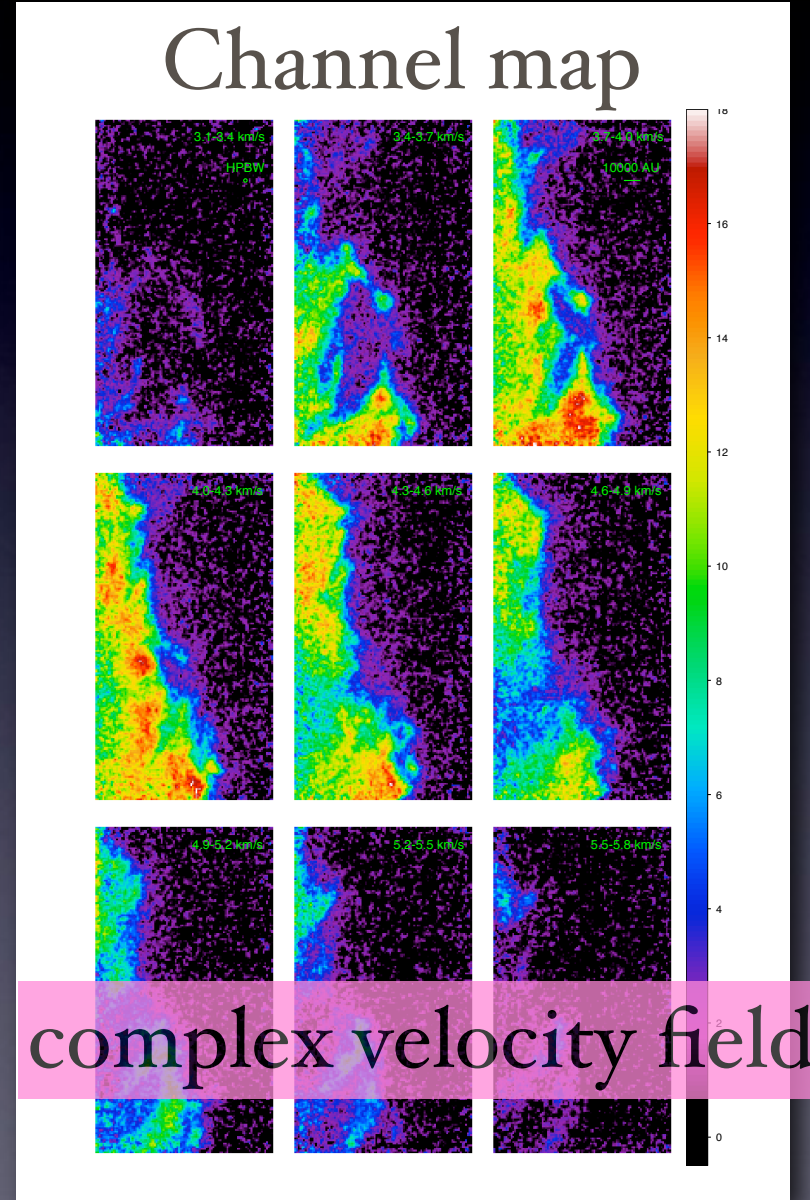
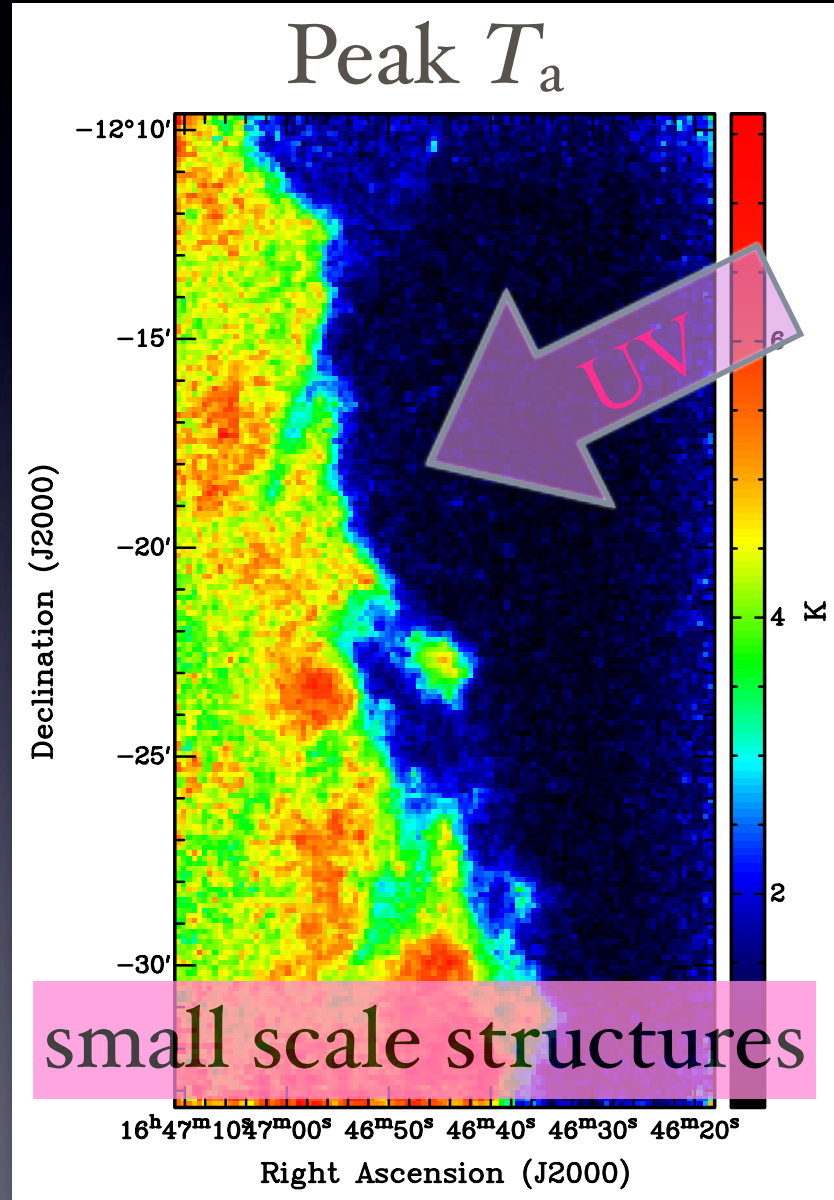
Runaway star ejected from Sco OB₂

NANTEN $8^\circ \times 8^\circ$ survey => cloud acceleration

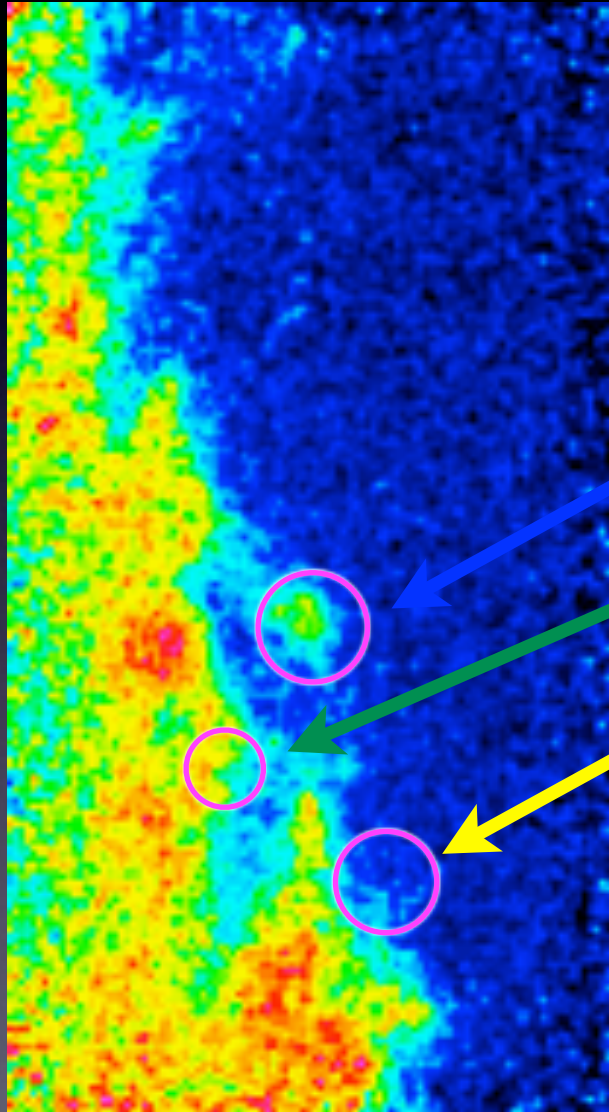
Only a few YSOs



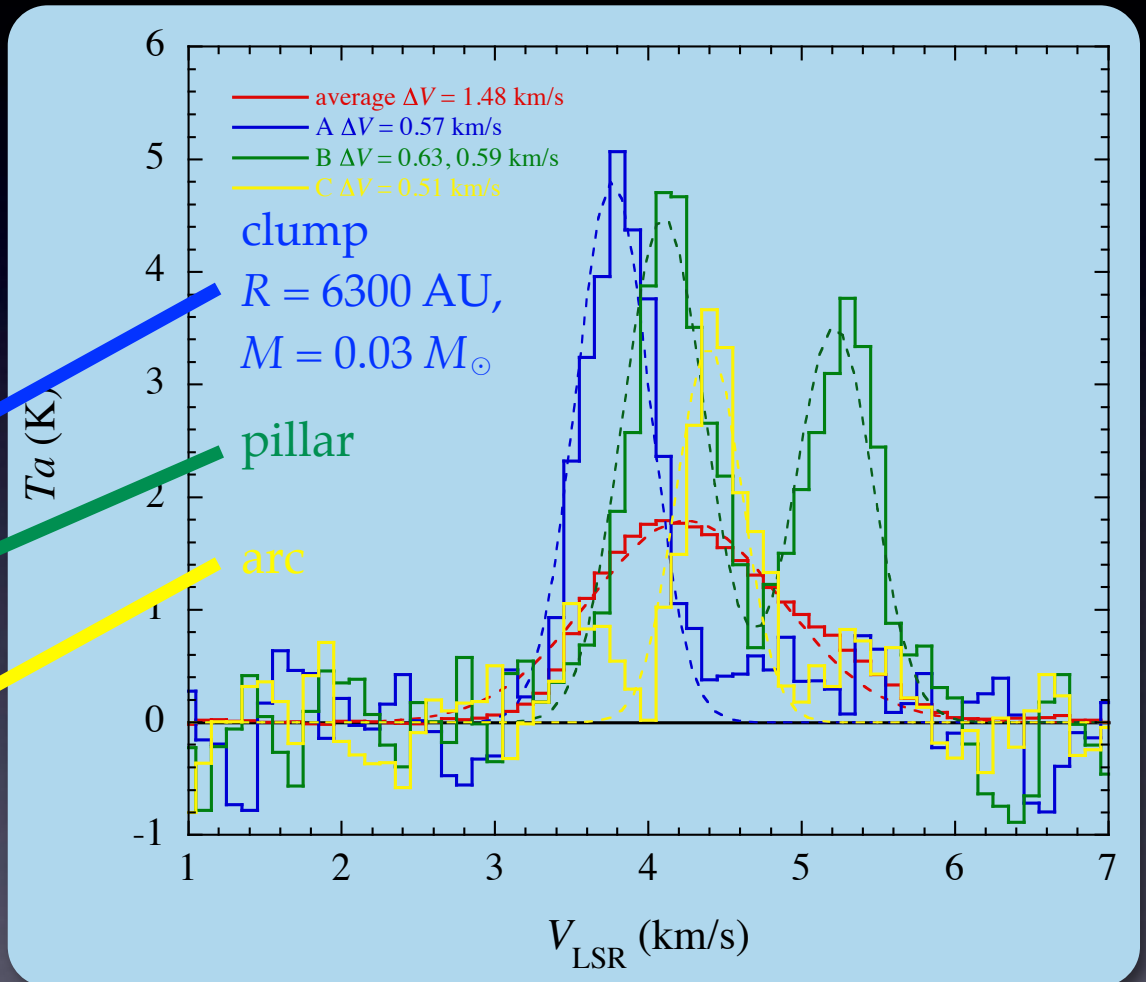
Small scale structures of the cloud surface



Complex velocity field



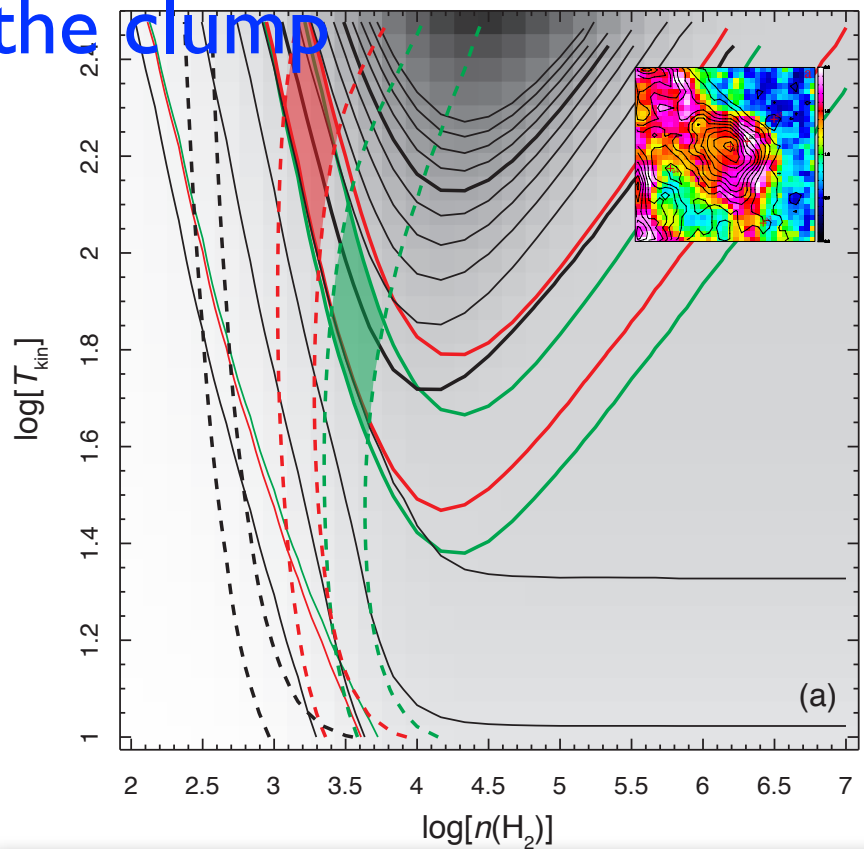
Channel map



^{12}CO spectra $\Delta V_{\text{small}} \sim 0.6 \text{ km/s}$, $\Delta V_{\text{ave}} \sim 1.5 \text{ km/s}$

T_{kin} and $n(\text{H}_2)$

the clump

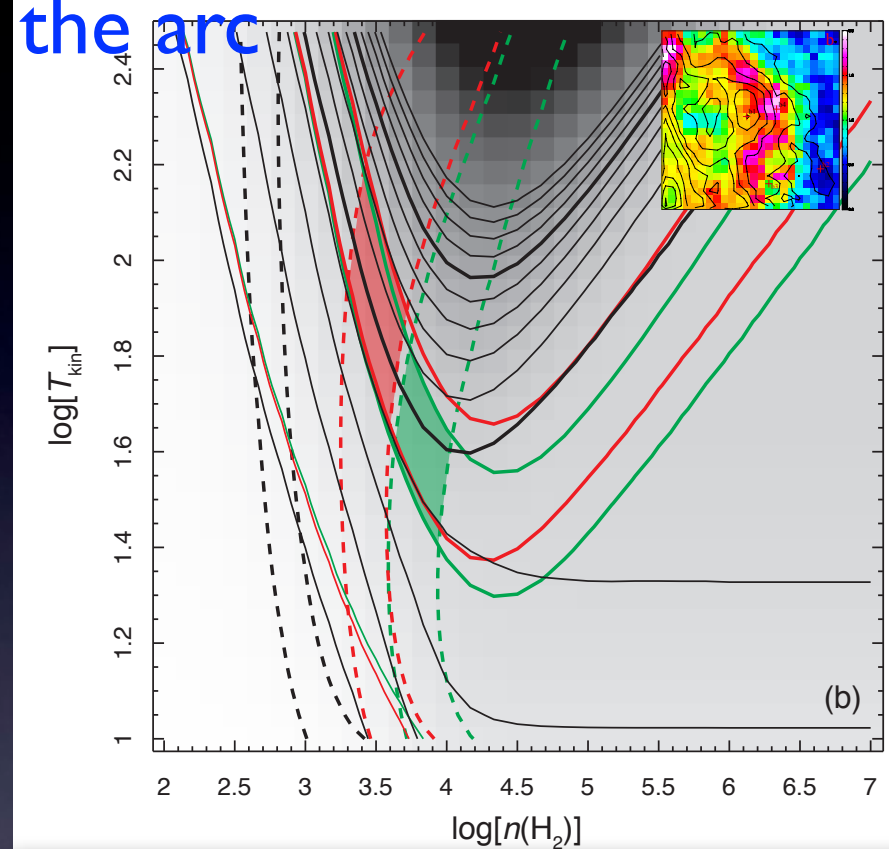


$$\begin{aligned} 1000 < n(\text{H}_2) [\text{cm}^{-3}] &< 6000 \\ \Rightarrow 0.008 < M [\text{M}_\odot] &< 0.05 \\ 40 < T_{\text{kin}} [\text{K}] &< 300 \end{aligned}$$

$R = 6300 \text{ AU}, \Delta V = 0.6 \text{ km/s}$

$Z = 5 \times 10^{-5}, 1 \times 10^{-5}, 5 \times 10^{-6}$

the arc



$$\begin{aligned} 2000 < n(\text{H}_2) [\text{cm}^{-3}] &< 11000 \\ \Rightarrow 0.005 < M [\text{M}_\odot] &< 0.03 \\ 25 < T_{\text{kin}} [\text{K}] &< 150 \end{aligned}$$

$R = 3000 \text{ AU}, \Delta V = 0.6 \text{ km/s}$

星間乱流のまとめ

- 分子雲は多数の微細構造 (≤ 10000 AU) からできている
- 視線方向の重なりが超音速乱流的なスペクトルをつくる
- 二相ガスモデルで星間乱流は説明できそう
- 磁場・WNMの観測がまだない

3. 超新星残骸における粒子加速

■ 超新星残骸：大質量星が超新星爆発した後に残される残骸



– 10^{51} erg のエネルギー放出

– 超音速衝撃波層の形成・膨張



星間空間へ多大な影響を与える

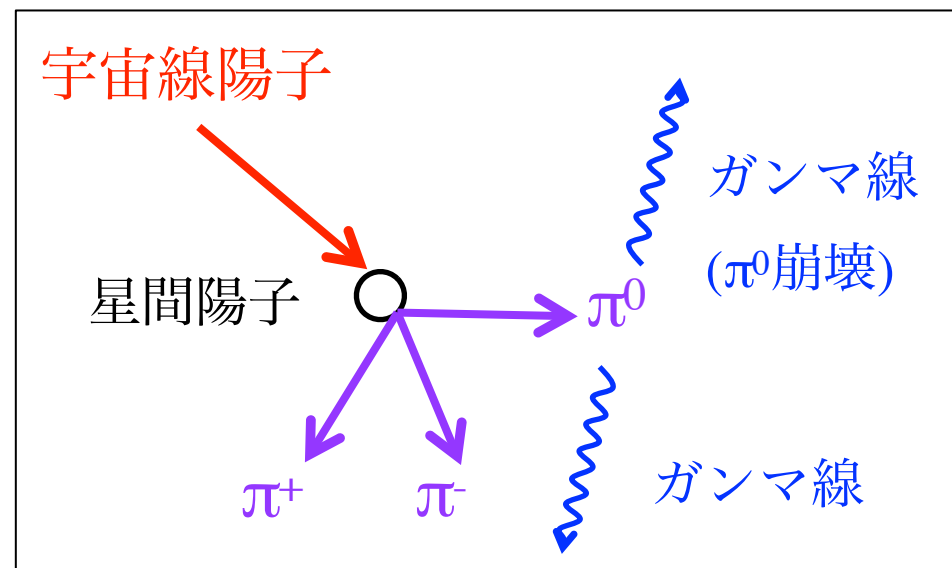
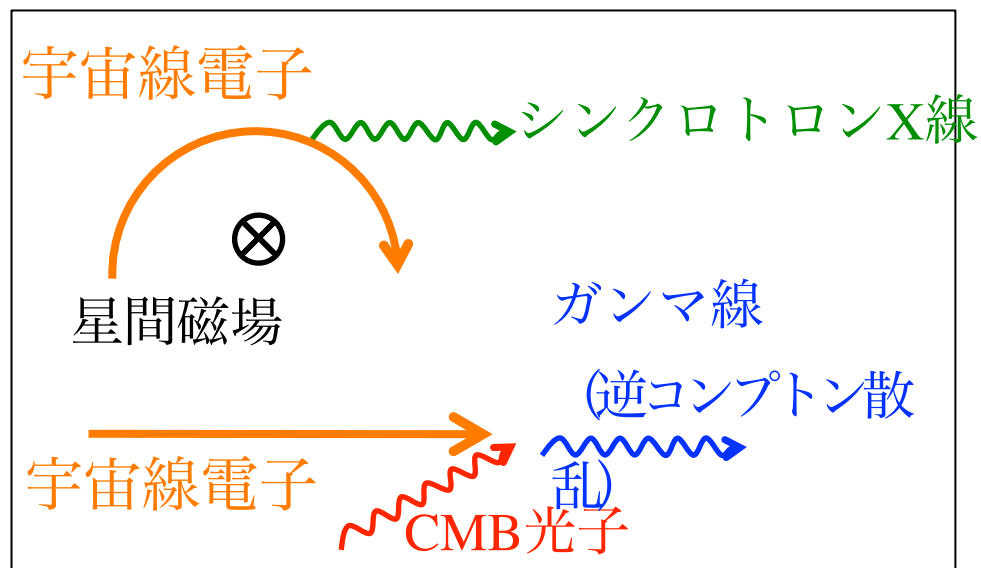
– 衝撃波と星間物質との相互作用

– 星間空間への重元素の供給

– 新たな星の誕生(e.g., Sano+10)

– 衝撃波面 (~ 1000 km/s) における
宇宙線粒子加速 etc.

SNR as a Cosmic Ray Accelerator ($\sim 10^{15.5}$ eV)



- 宇宙線電子：シンクロトロンX線の検出により、加速は証明 (e.g., Koyama+95)
- 宇宙線陽子：スペクトルの違いから逆コンプトン散乱と $\pi_0-2\gamma$ を切り分けを試み、
Middle Aged SNR については、加速が示唆されつつある
⇒ 非一様ISM中にあるSNRは、スペクトルによる切り分けは困難 (Inoue+12)

SNRで宇宙線陽子が加速されているか否かを明らかにすることがこの研究分野の最大の焦点の1つ

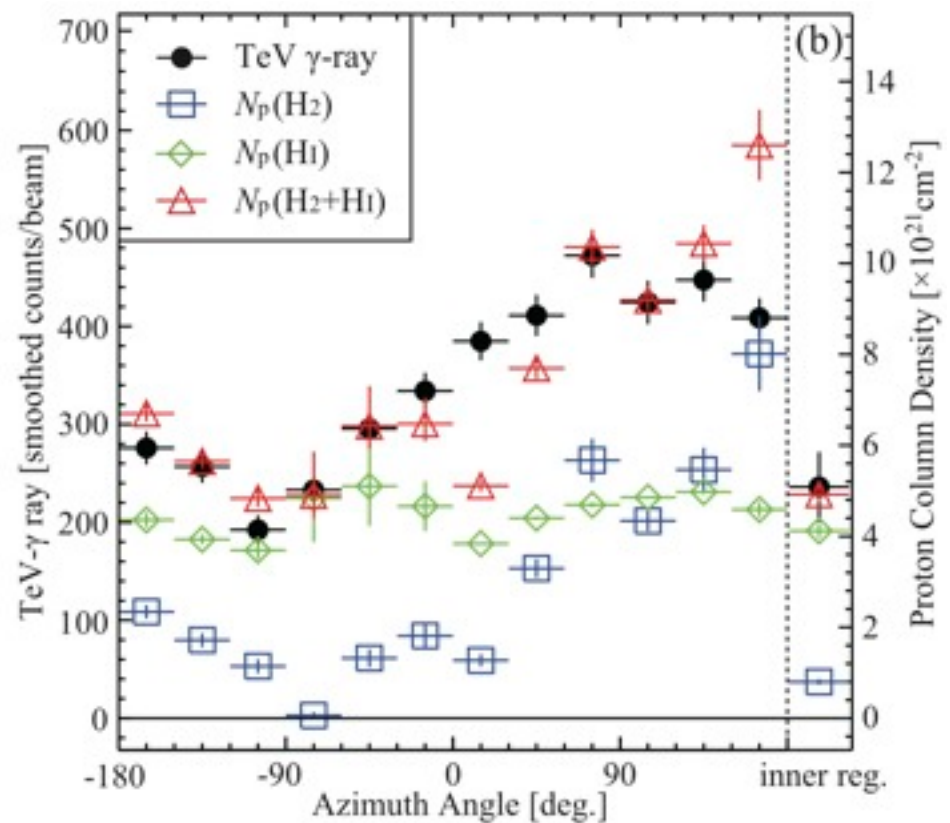
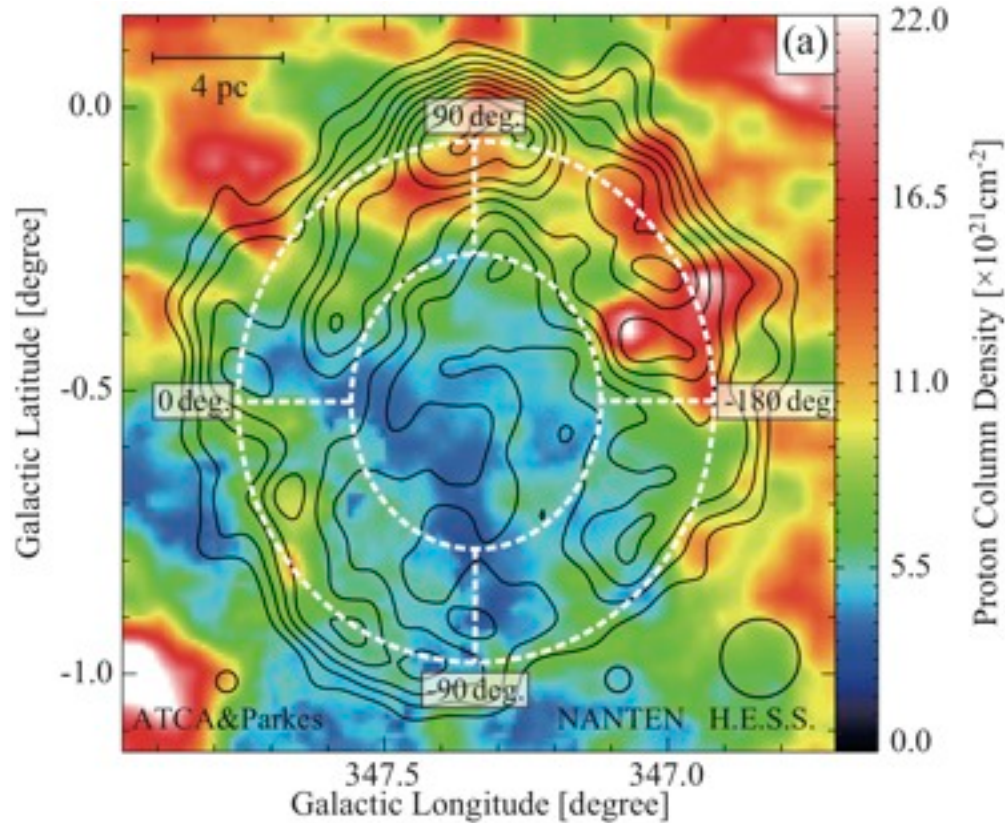
TeV γ -ray vs. Target ISM Proton

■ RX J1713.7-3946

- 水素分子と原子の質量比は同程度 ($H_2: 0.9 \times 10^4 M_\odot$, $HI: 1.1 \times 10^4 M_\odot$)

- 宇宙線陽子の加速効率は $0.1\% (\sim 10^{48} \text{ erg})$ 程度

⇒ 宇宙線陽子が加速されていると考えても矛盾はしない



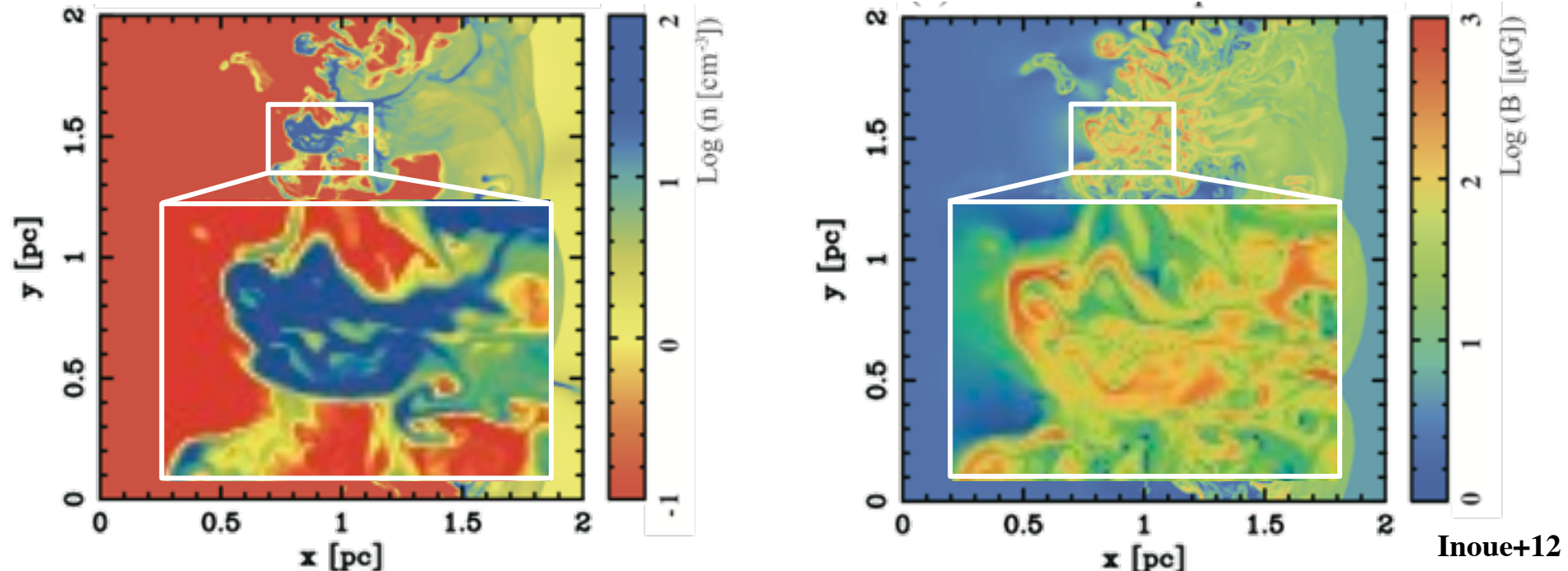
[左図] イメージ: 全星間陽子柱密度 $N_p(H_2+HI)$, コントア: TeV ガンマ線強度 (Fukui, Sano et al. 2012)

[右図] TeV ガンマ線, 水素分子 ($\times 2$) $N_p(H_2)$, 水素原子 $N_p(HI)$, 全星間陽子 $N_p(H_2+HI)$ の方位角分布

Numerical Simulation

■ MHD Simulation of Shock-cloud interaction (Inoue+12)

熱的不安定性により形成された clumpy な ISM (Inoue&Inutsuka+08,+09) へ衝撃波伝搬



- 衝撃波速度 V_{sh} は $1/\sqrt{\text{星間ガス密度}}$ で減速
⇒ 密度差の大きな分子雲周辺 ($\Delta n \sim 10^{3-5}$) で速度差発生 → 乱流の生成
- 分子雲近傍に強いシア流 (回転電場) + 乱流が磁場を巻き上げ増幅 (乱流ダイナモ)
⇒ 磁場 $B \sim 0.1\text{-}1 \text{ mG}$ まで増幅される → 分子雲周辺でX線放射がエンハンスされる
星間ガス周辺のX線増光が期待 ⇒ 観測でも見えはじめている

粒子加速のまとめ

- TeV γ 線の起源として、陽子加速はあります
- 電子起源との切り分けはまだむずかしい
- 磁場・および十分な分解能での密度構造の情報から、理論モデルの検証を試みる

全体のまとめ

- 星間物質はとてもダイナミック
- 衝突・加速・加熱・冷却・相転移. . .
- 観測データは増えてきた（あとは高分解能の原子ガスと磁場の情報が）
- More to come with the NASCO survey!